



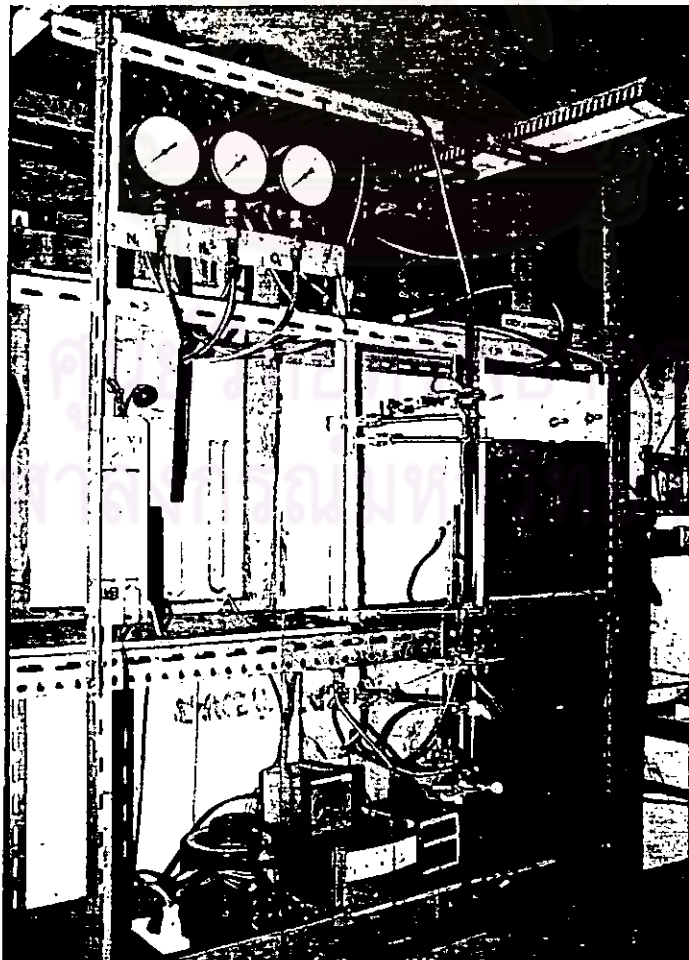
บทที่ 3

การทดลอง

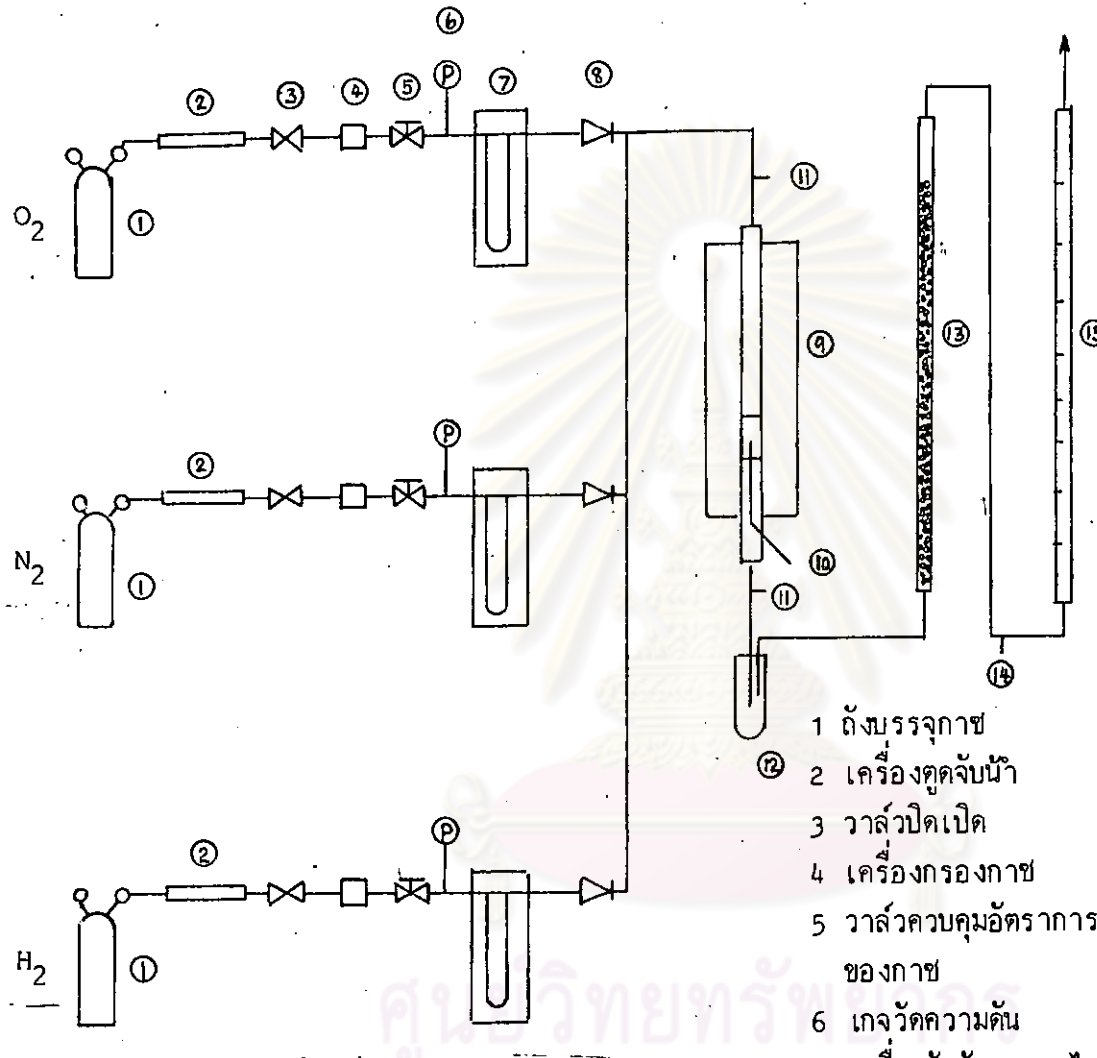
การทดลองทดสอบตัวเร่งปฏิกิริยาในห้องปฏิบัติการ เราจำเป็นต้องสร้างเตาปฏิกรณ์เคมี (chemical reactor) เล็กๆ ขึ้นมาเพื่อหลีกเลี่ยงความยุ่งยากและสิ่งที่ไม่จำเป็นอันเกิดขึ้น เนื่องจากเครื่องมือการทดลองและการทำการทดลอง เตาปฏิกรณ์เคมีดังกล่าวมีมากมายหลายแบบ มีทั้งข้อดีข้อเสียแตกต่างกันไป ผู้สนใจในรายละเอียดสามารถหาอ่านได้ตามเอกสารอ้างอิงที่ให้ไว้ (3-), (11), (12), (13) ผู้ทำการทดลองจะเลือกใช้เตาปฏิกรณ์เคมีแบบไหนนั้นก็ขึ้นอยู่กับความเหมาะสม เตาปฏิกรณ์เคมีที่ใช้ในที่นี้เป็นเตาปฏิกรณ์แบบเบดหยุดนิ่ง (fixed-bed reactor) เนื่องจากสร้างได้ง่ายราคาถูก ใช้ในการทดสอบตัวเร่งปฏิกิริยาได้ดีพอสมควรและเป็นที่ยอมรับใช้กัน

3.1 เครื่องมือทำการทดลอง

รูป 3.1 แสดงภาพเครื่องมือทำการทดลอง การพิจารณาส่วนต่างๆ ของเครื่องมือ



รูปที่ 3.1 แสดงภาพเครื่องมือทำการทดลอง



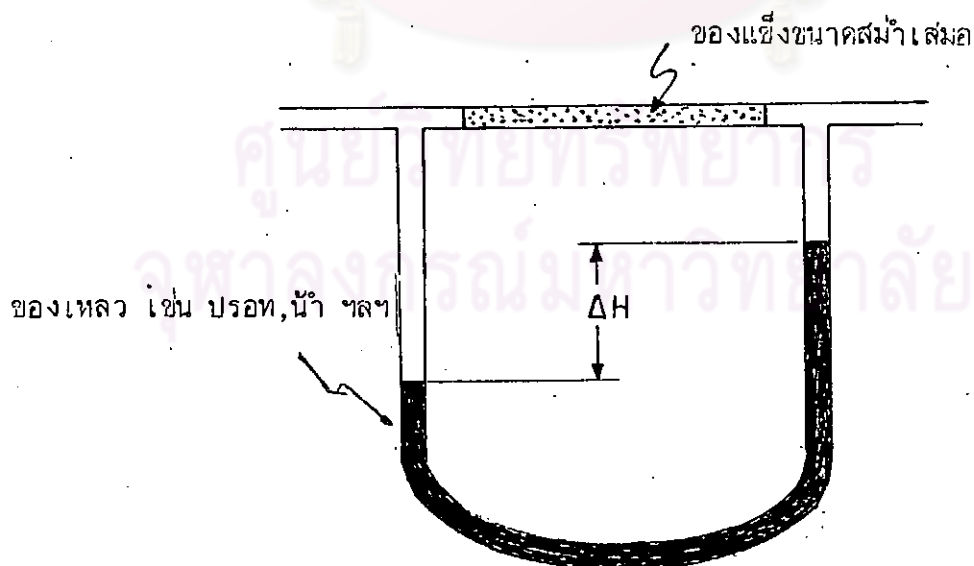
รูปที่ 3.2 แสดงแผนภาพทิศทางการไหลของก๊าซในเครื่องมือทำการทดลอง (flow diagram)

- | | |
|--|--|
| 1 ถังบรรจุก๊าซ | 9 เตาปฏิกรณ์เคมี |
| 2 เครื่องควบคุมน้ำ | 10 เครื่องวัดอุณหภูมิ (thermocouple) |
| 3 วาล์วเปิดเปิด | 11 จุดเก็บตัวอย่างก๊าซ |
| 4 เครื่องกรองก๊าซ | 12 เครื่องควบแน่นน้ำ |
| 5 วาล์วควบคุมอัตราการไหลของก๊าซ | 13 เครื่องควบคุมน้ำ |
| 6 เกจวัดความดัน | 14 จุดเก็บตัวอย่างก๊าซ |
| 7 เครื่องวัดอัตราการไหลของก๊าซแบบมาโนมิเตอร์ | 15 เครื่องวัดอัตราการไหลของก๊าซแบบฟองสบู (bubble flow meter) |
| 8 เช็ควาล์ว (check valve) | |

การทดลองในรูปภาพที่ 3.1 จะยุ่งยาก เพื่อความสะดวกและง่ายเราจะพิจารณาแผนภาพของการไหล (flow diagram) ของเครื่องมือทำการทดลองดังแสดงในรูปที่ 3.2

เพื่อความปลอดภัยในการทำการทดลอง เราใช้ก๊าซไนโตรเจนเป็นก๊าซทำให้ก๊าซผสมระหว่างก๊าซไฮโดรเจนกับก๊าซออกซิเจนเจือจาง และใช้ปริมาณก๊าซไฮโดรเจน ในการทดลองน้อยลง พิจารณาตามรูปภาพที่ 3.2 ก๊าซจากถังบรรจุก๊าซจะไหลผ่านเกจควบคุมความดัน (pressure regulator) ผ่านวาล์วปิดเปิด ผ่านตัวกรองก๊าซ ผ่านวาล์วควบคุมอัตราการไหลของก๊าซ (needle valve) ผ่านเกจวัดความดัน ผ่านเครื่องมือวัดอัตราการไหลของก๊าซแบบมาโนมิเตอร์ ผ่านวาล์วควบคุมทิศทางไหล (check valve) เข้าสู่ท่อผสม ผ่านเข้าเตาปฏิกรณ์เคมี ซึ่งมีตัวเร่งปฏิกิริยาบรรจุอยู่ และสามารถทราบค่าอุณหภูมิได้โดยใช้เครื่องวัดอุณหภูมิ ตั้งจุดที่ 10 (thermocouple) ก๊าซที่ผ่านเตาปฏิกรณ์เคมีหลังจากทำปฏิกิริยากันแล้ว จะถูกส่งผ่านเข้าเครื่องควบแน่นดักจับน้ำไว้บางส่วน และน้ำจะถูกดักจับอีกครั้งด้วยซิลิกาเจล (silica gel) บรรจุอยู่ในหลอดแก้ว หลังจากผ่านเครื่องดักจับน้ำแล้ว ก๊าซที่ได้จะแห้งเราจะเก็บตัวอย่างก๊าซที่จุดที่ 14 นำไปวิเคราะห์ด้วยเครื่องก๊าซโครมาโตกราฟี (gas chromatography) และวัดอัตราการไหลของก๊าซเชิงปริมาตรที่ออกจากเตาปฏิกรณ์เคมีด้วยเครื่องมือวัดอัตราการไหลแบบฟองสบู่ (bubble flow meter)

3.1.1 เครื่องมือวัดอัตราการไหลของก๊าซแบบมาโนมิเตอร์



รูปที่ 3.3 แสดงเครื่องมือวัดอัตราการไหลของก๊าซแบบมาโนมิเตอร์

ในการวัดอัตราการไหลของก๊าซวิธีการหนึ่งที่สามารถใช้ได้คือ การวัดหาความสัมพันธ์ของความดันลด เนื่องจากเบดที่หยุดนิ่งและมีขนาดของแข็งที่บรรจุภายในเบดค่อนข้างสม่ำเสมอ กัมอัตราการไหลของก๊าซ สมการแสดงความสัมพันธ์ระหว่างตัวแปรทั้งสองนี้ สำหรับกรณีเบดของของแข็งที่หยุดนิ่ง (fixed bed) คือสมการ Ergun ดังแสดงในสมการ (3.1) (20.)

$$\frac{\Delta P}{L} \frac{g_c \phi_s D_p^3}{\rho V^2 (1-\epsilon)} = \frac{150 (1-\epsilon)}{\phi_s D_p V \rho / \mu} + 1.75 \quad (3.1)$$

- เมื่อ ΔP = ความดันลดระหว่างเบดของของแข็งที่หยุดนิ่ง
- L = ความสูงเบด
- g_c = ตัวประกอบสัดส่วนตามกฎของนิวตัน (Newton's law proportionality factor)
- ϕ_s = สเฟียร์ริซิตีหรือค่าแสดงความเป็นทรงกลม (sphericity)
- D_p = เส้นผ่าศูนย์กลางของของแข็ง
- ϵ = ความพรุนของเบดหรือสัดส่วนปริมาตรช่องว่างภายในเบดต่อปริมาตรของเบดทั้งหมด
- V = ความเร็วซูเปอร์ฟิเชียล (superficial velocity)
- ρ = ความหนาแน่นของก๊าซ
- μ = ความหนืดของก๊าซ

กรณีที่ค่าตัวเลขเรย์โนลด์ (Re) $= \frac{D_p V \rho}{\mu}$ มีค่าน้อยเทอมแรกทางขวามือ จะมีค่ามากกว่า

1.75 มาก สมการ 3.1 จะกลายเป็น

$$\frac{\Delta P g_s \phi_s D_p^3}{L S V^2 (1-\epsilon)} = \frac{150 (1-\epsilon)}{\phi_s D_p V \rho / \mu} \quad (3.2)$$

หรือ $\frac{\Delta P}{L} g_c = \frac{150 (1-\epsilon)^2 Q \mu}{\phi_s^2 \epsilon^3 D_p^2 A_b} \quad (3.3)$

- เมื่อ Q = อัตราการไหลของก๊าซเชิงปริมาตร
- A_b = พื้นที่หน้าตัดของเบด

สมการ 3.3 แสดงความสัมพันธ์ระหว่างความดันลดระหว่างเบดกับอัตราการไหลของก๊าซเชิงปริมาตรในลักษณะแปรเป็นสัดส่วนกัน

กรณีค่าตัวเลขเรย์โนลด์มีค่าสูงมาก สมการ (3.1) จะกลายเป็น

$$\frac{\Delta P}{L} \frac{g_c \cdot \phi_{s,p} D_p \epsilon^3}{\rho V^2 (1-\epsilon)} = 1.75 \quad (3.4)$$

หรือในรูปความสัมพันธ์ระหว่าง ΔP กับ Q คือ

$$\frac{\Delta P}{L} g_c = \frac{1.75 (1-\epsilon) \rho Q^2}{\phi_{s,p} D_p \epsilon^3 A_b^2} \quad (3.5)$$

ซึ่งสมการ 3.5 แสดงความสัมพันธ์ในรูปของสมการพาราโบลา

กรณีค่าตัวเลขเรย์โนลด์ไม่สูงหรือต่ำเกินไป ความสัมพันธ์ระหว่าง ΔP กับ Q จากสมการ (3.1) จะกลายเป็น

$$\frac{\Delta P}{L} g_c = \frac{150 (1-\epsilon)^2 Q \mu}{\phi_{s,p} \epsilon^3 D_p A_b} + \frac{1.75 (1-\epsilon) \rho Q^2}{\phi_{s,p} D_p \epsilon^3 A_b^2} \quad (3.6)$$

สมการ 3.6 มีรูปสมการเป็นสมการโพลีโนเมียล (polynomial equation) ยกกำลังสอง

สมการ (3.3), (3.5), (3.6) เราสามารถประยุกต์เข้าใช้กับรูปที่ 3.3 ไม่ว่าค่าตัวเลขเรย์โนลด์มากหรือน้อยก็ตาม เราก็สามารถหาความสัมพันธ์ระหว่างความดันตกคร่อมของของแข็งที่หุ้ยนึง กับอัตราการไหลเชิงปริมาตรของก๊าซที่อุณหภูมิต่างๆ ได้ จากความสัมพันธ์อันนี้ ทำให้เราทราบอัตราการไหลเชิงปริมาตรของก๊าซ เพียงแต่ทราบค่าความดันตกคร่อมของของแข็งเท่านั้น แล้วอาศัยความสัมพันธ์จากสมการสภาวะก๊าซอุดมคติ ($PV = nRT$) เมื่อ P คือความดันก๊าซ V คือปริมาตรก๊าซ R คือค่าคงที่ก๊าซ n คือจำนวนโมลของก๊าซ T คืออุณหภูมิที่สภาวะนั้นๆ ในหน่วยองศาเคลวิน (K) เราก็จะทราบค่าอัตราการไหลของก๊าซเชิงโมล สมการ (3.1) สามารถใช้ได้ก็กับเบดของของแข็งที่มีลักษณะทรงกลมสม่ำเสมอหรือทรงกระบอกสม่ำเสมอ (20) ตัวอย่างของความสัมพันธ์ระหว่างค่าความดันตกคร่อมของของแข็งซึ่งการทดลองในที่นี้ใช้สำลี กับอัตราการไหลของก๊าซเชิงปริมาตรได้แสดงเอาไว้ในภาคผนวก ก และทุก ๆ ครั้งที่มีการทำการทดลองเราจำเป็นต้องตรวจสอบความสัมพันธ์นี้ ด้วยเครื่องมือวัดอัตราการไหลของก๊าซเชิงปริมาตรแบบใช้ฟองสบู่ (bubble flow meter)

3.1.2 เตาปฏิกรณ์เคมี (chemical reactor)

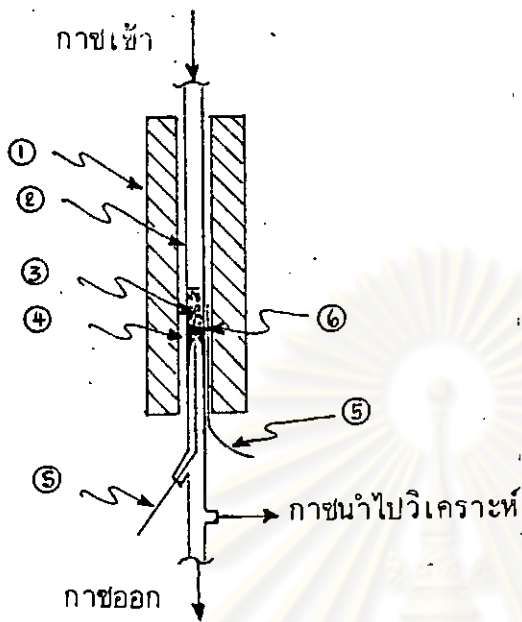
รูปภาพที่ 3.4 แสดงภาพของเตาปฏิกรณ์เคมีที่ใช้ในการทดลองทำด้วยแก้วควอทซ์

ใช้ในการทำการทดลองที่อุณหภูมิไม่เกิน 1000°C และทำด้วยแก้วไพเรก (pyrex) ใช้ในช่วง
อุณหภูมิไม่เกิน 500°C



รูปที่ 3.4 แสดงภาพเตาปฏิกรณ์เคมีที่ใช้ในการทดลอง ครีชีในภาพแสดงบ่าที่
รองรับตัวเร่งปฏิกิริยา

รายละเอียดของลักษณะเตาปฏิกรณ์เคมีแสดงในรูปที่ 3.5



- 1 เตาควบคุมอุณหภูมิ
- 2 เตาปฏิกรณ์เคมีทำด้วยแท่งแก้ว
- 3 ตัวเร่งปฏิกิริยา
- 4 บ่าสำหรับรองรับตัวเร่งปฏิกิริยา
- 5 เครื่องวัดอุณหภูมิ
- 6 โถงรองรับตัวเร่งปฏิกิริยา

รูปที่ 3.5 แสดงรายละเอียดของเตาปฏิกรณ์เคมีที่ใช้ในการทดลอง

จากรูปที่ 3.5 หมายเลข 1 คือ เตาควบคุมอุณหภูมิต่อเข้าไปกับเครื่องควบคุมอุณหภูมิ RKC รุ่น series RE 96 และหม้อแปลงที่ปรับค่าแรงดันไฟฟ้าได้ (variac) ด้วยการควบคุมอุณหภูมิด้วยเครื่องมือดังกล่าว ผลปรากฏว่า ให้ค่าอุณหภูมิแม่นยำอยู่ในช่วงที่ยอมรับค่าได้กล่าวคือ อ่านค่าอุณหภูมิได้ผลดังนี้ 100 ± 0.5 °ซ, 200 ± 1 °ซ, 400 ± 2 °ซ จะพบว่าความผิดพลาดของค่าอุณหภูมิที่อ่านได้ไม่เกิน 5 เปอร์เซ็นต์ หมายเลข 2 คือ เตาปฏิกรณ์เคมีทำด้วยแท่งแก้วควอทซ์หรือแก้วไพเรก เส้นผ่าศูนย์กลางภายใน 5.25 มิลลิเมตร ความยาว 35 เซนติเมตร ความหนา 1 มิลลิเมตร ภายในตัวเตาเองจะมีบ่าเป็นที่รองรับโถงแก้วและตัวเร่งปฏิกิริยา ดังแสดงที่หมายเลข 4 ภายในบรรจุตัวเร่งปฏิกิริยาที่ทำการทดสอบ ขนาดของตัวเร่งปฏิกิริยาอยู่ในช่วง 100–250 เมช (mesh) ตามระบบ Tyler ปริมาณตัวเร่งปฏิกิริยาที่ใช้ในการทดสอบอยู่ในช่วง 10–50 มิลลิกรัม ความสูงของเบดอยู่ในช่วงตั้งแต่ 1.5 มิลลิเมตร ขึ้นไป สำหรับเหตุผลจะอธิบายเอาไว้ในหัวข้อการทดสอบตัวเร่งปฏิกิริยา เครื่องวัดอุณหภูมิที่ใช้ในที่นี้คือ เทอร์โมคัปเปิล (thermocouple) ชนิด K วัดอุณหภูมิภายในเบด และผิวผนังภายนอกเตาปฏิกรณ์เคมี ดังแสดงไว้ในรูปที่ 3.5 ตำแหน่งหมายเลข 5 ก่อนทำการทดลองเราจำเป็นต้องทดสอบความถูกต้องแม่นยำในการวัดของเครื่องมือวัดอุณหภูมิ ในที่นี้ได้ทดสอบกับเทอร์โมมิเตอร์ ผลปรากฏว่าอ่านค่าอุณหภูมิที่ 0 °ซ ได้เท่ากัน

และอ่านค่าอุณหภูมิที่หน้าเค็ดเตอร์โอมิเตอร์อ่านค่าได้ 100 °ซ เครื่องวัดอุณหภูมิอ่านค่าได้ 100 °ซ เท่ากัน แสดงว่าเครื่องวัดอุณหภูมิ ให้ผลการวัดที่เชื่อถือได้ สัญญาณที่อ่านได้จากเครื่องวัดอุณหภูมิ จะถูกแปลออกมาเป็นตัวเลขด้วยเครื่องแปลสัญญาณ Eurothem รุ่น 141 ดังแสดงในรูปที่ 3.1

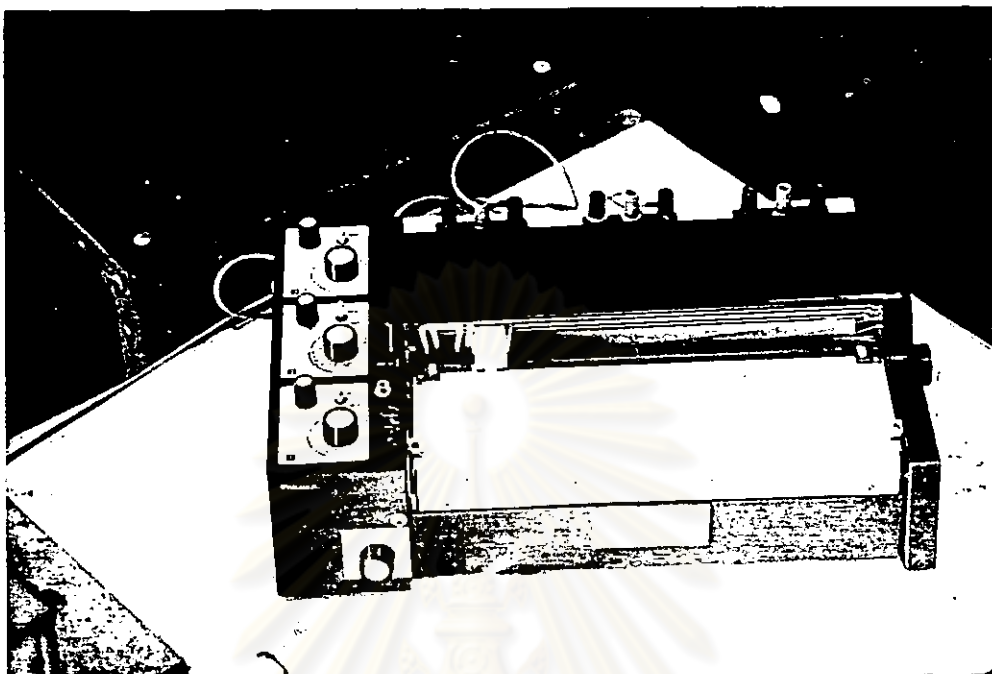
3.1.3 เครื่องมือวิเคราะห์หาปริมาณและคุณภาพก๊าซ

เครื่องมือวิเคราะห์ก๊าซในที่นี้ใช้เครื่อง ก๊าซโครมาโทกราฟฟี ของบริษัท GOW-MAC รุ่น series 150 ดังแสดงในรูปที่ 3.6 คอลัมน์นี้ใช้แยกก๊าซบรรจุไว้ด้วยMS-5A (molecular sieve 5 A) ซึ่งสามารถแยกก๊าซ H_2 , O_2 , N_2 อันเป็นก๊าซที่ใช้ในการทดลอง ออกจากกันได้ ก๊าซที่ผ่านการแยกแล้วถูกส่งผ่านขดลวดหาปริมาณและคุณภาพของก๊าซ โดยอาศัย หลักการเปรียบเทียบค่าความนำความร้อนของก๊าซตัวอย่างกับก๊าซพา (carrier gas) ในที่นี้คือ ก๊าซอาร์กอน แพลตฟอร์มออกเป็นสัญญาณไฟฟ้า ส่งผ่านเข้าเครื่องบันทึกสัญญาณ (recorder) ขดลวดหาปริมาณและคุณภาพของก๊าซโดยอาศัยหลักการดังกล่าว เรียกว่า ตัวตรวจวิเคราะห์ก๊าซ แบบเปรียบเทียบค่าความนำความร้อน (thermal conductivity detector) รูปที่ 3.7 แสดง เครื่องบันทึกสัญญาณ สัญญาณไฟฟ้าจะถูกเปลี่ยนสัญญาณด้วยเครื่องมือทางกลออกมาเป็นรูป เรียกว่า โครมาโตแกรม (chromatogram) ดังแสดงในภาคผนวก ข จากโครมาโตแกรมของ ก๊าซตัวอย่าง นำไปเปรียบเทียบกับโครมาโตแกรมของก๊าซมาตรฐาน (standard gas) จะสามารถวิเคราะห์ก๊าซได้ทั้งทางคุณภาพและปริมาณ วิธีวิเคราะห์ก๊าซแสดงตัวอย่างในภาคผนวก ข.



รูปที่ 3.6 แสดงเครื่องก๊าซโครมาโทกราฟฟีของบริษัท GOW MAC จำกัด

รุ่น series 150 ใช้เครื่องวิเคราะห์ก๊าซแบบเปรียบเทียบค่าความนำความร้อน



รูปที่ 3.7 แสดงเครื่องบันทึกสัญญาณ (recorder) ของบริษัท OHGURA จำกัด สำหรับรายละเอียดและทฤษฎีที่เกี่ยวข้องกับเครื่องกาซโครมาโตกราฟฟีในที่นี้จะไม่กล่าวถึง ผู้สนใจหาอ่านได้จากหนังสือเกี่ยวกับเรื่องนี้ได้โดยทั่วไป (21), (22)

สภาวะการวิเคราะห์หาปริมาณกาซของเครื่องกาซโครมาโตกราฟฟีในที่นี้ติดตั้ง อัตราการไหลของกาซพา 30 ซม.³ / นาที ชนิดคอลัมน์บรรจุด้วย MS5A ขนาด 80-100 เมช ความยาวคอลัมน์ 3 เมตร เส้นผ่าศูนย์กลางภายใน $\frac{1}{8}$ นิ้ว อุณหภูมิตัวฉีด (injector) และคอลัมน์ 60 °ซ อุณหภูมิตัวตรวจ 80 °ซ กระแสไฟฟ้าสำหรับตัวตรวจ 80 มิลลิแอมป์

3.2 การเตรียมตัวเร่งปฏิกิริยา

ตัวเร่งปฏิกิริยาที่ใช้ในการทดสอบมีด้วยกัน 4 ชนิดคือ โลหะพลาตินัม นิเกิล ทองแดง โคบอลท์ นั่งอยู่บนซัพพอร์ต (support) อะลูมินา (Al_2O_3) ที่มีพื้นที่ผิวทั้งหมด (BET surface area) 70 เมตร²/กรัม และ 350 เมตร²/กรัม เนื่องจากปฏิกิริยาระหว่างกาซไฮโดรเจนกับ กาซออกซิเจนเป็นปฏิกิริยาที่เกิดขึ้นแบบทันทีทันใด (instantaneous reaction) จึงควรเลือกใช้ซัพพอร์ตที่มีพื้นที่ผิว BET ไม่จำเป็นต้องสูงมาก และเนื่องจาก ห้องปฏิบัติการวิจัยในที่นี้มี ซัพพอร์ตที่มีค่าพื้นที่ผิว BET เพียง 70 เมตร²/กรัม และ 350 เมตร²/กรัม เท่านั้น จึงเลือก

ใช้ซัพพอร์ตชนิดแรก การเลือกใช้ซัพพอร์ตชนิดหลังมีผลส่งถึงทางด้านราคาของซัพพอร์ตที่แพงกว่าด้วย

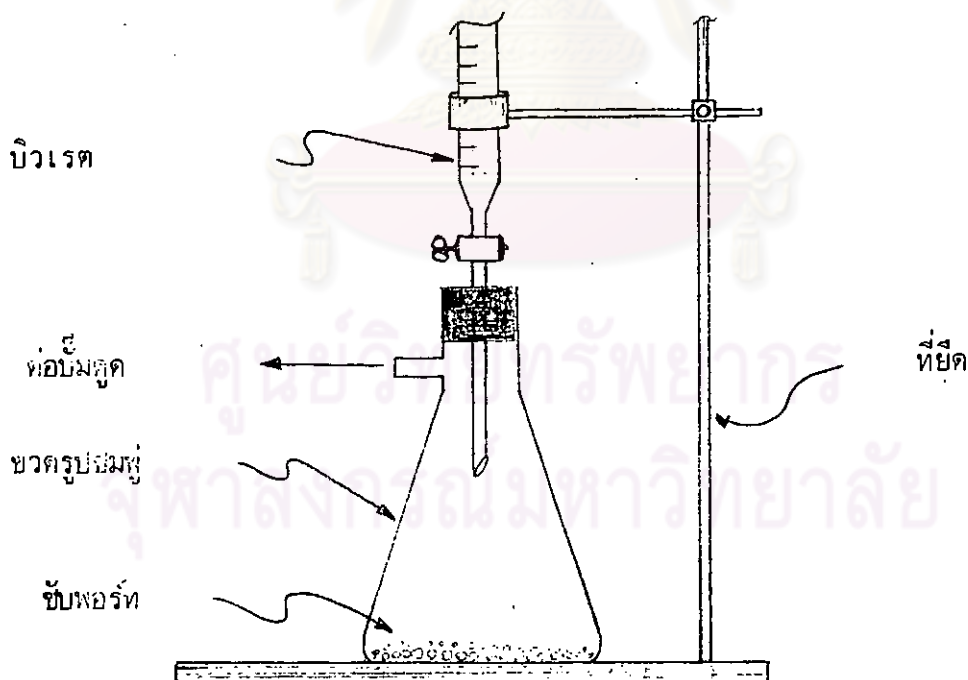
การเตรียมตัวเร่งปฏิกิริยา ใช้วิธีการเตรียมแบบดูดซับ (impregnation) แบบแห้ง
วิธีการเตรียมโดยสังเขปมีดังต่อไปนี้

ก. ชั่งน้ำหนักของซัพพอร์ตตามที่ต้องการ เตรียม

ข. ทดลองคำนวณหาปริมาณของรูปพรุนต่อน้ำหนักของซัพพอร์ตดังอาศัยเครื่องมือตามรูป

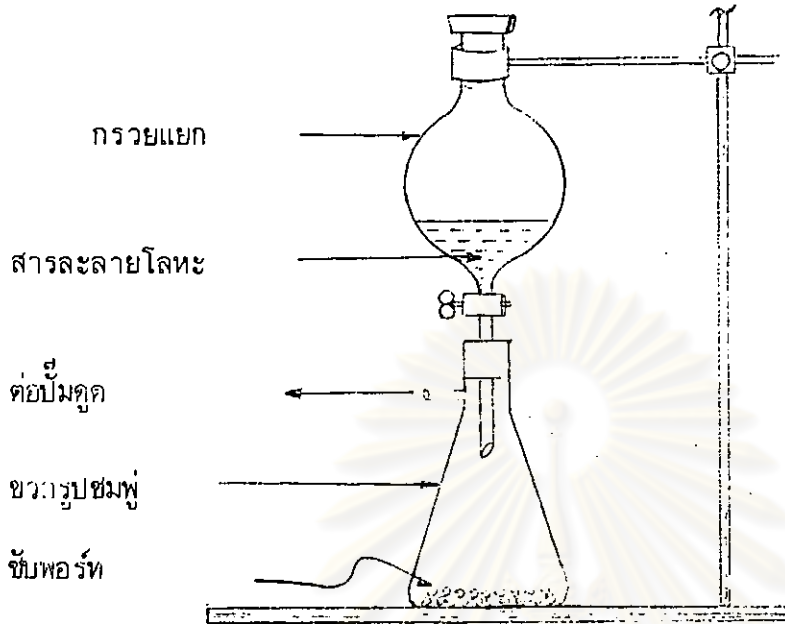
3.8 ใช้ไม้คูดูดอากาศภายในขวดแก้วชมพู แล้วหยดน้ำลงไปแทนที่ช่องว่างรูปพรุนภายในซัพพอร์ตก็จะทราบ
ปริมาณของรูปพรุนโดยประมาณต่อน้ำหนักของซัพพอร์ต

ค. เตรียมสารละลายของโลหะที่ต้องการ คำนวณความเข้มข้นจากปริมาณของรูปพรุน
ซัพพอร์ตที่ต้องการเตรียม และปริมาณโดยน้ำหนักของโลหะที่ต้องการนั้นบนซัพพอร์ต วิธีการคำนวณ
แสดงไว้ในภาคผนวก ค สารที่ใช้เตรียมสารละลายโลหะต่างๆ ได้แก่ สารผสมกรดคลอโรพลาตินิก
(H_2PtCl_6) , สารประกอบไนเตรทของนิกเกิล ($NiNO_3 \cdot 6H_2O$) , สารประกอบไนเตรทของ
โคบอลต์ ($CoNO_3 \cdot 3H_2O$) , สารประกอบซัลเฟตของทองแดง ($CuSO_4 \cdot 6H_2O$)



รูป 3.8 แสดงเครื่องมือใช้หาปริมาณรูปพรุนของซัพพอร์ตโดยการแทนที่ด้วยน้ำ

ง. เตรียมเครื่องทำการดูดซับแห้งดังรูปที่ 3.9 มีลักษณะคล้ายกับรูปที่ 3.8



รูป 3.9 แสดงชุดเครื่องมือการดูดซับสารละลายโลหะบนขั้วพอร์ท

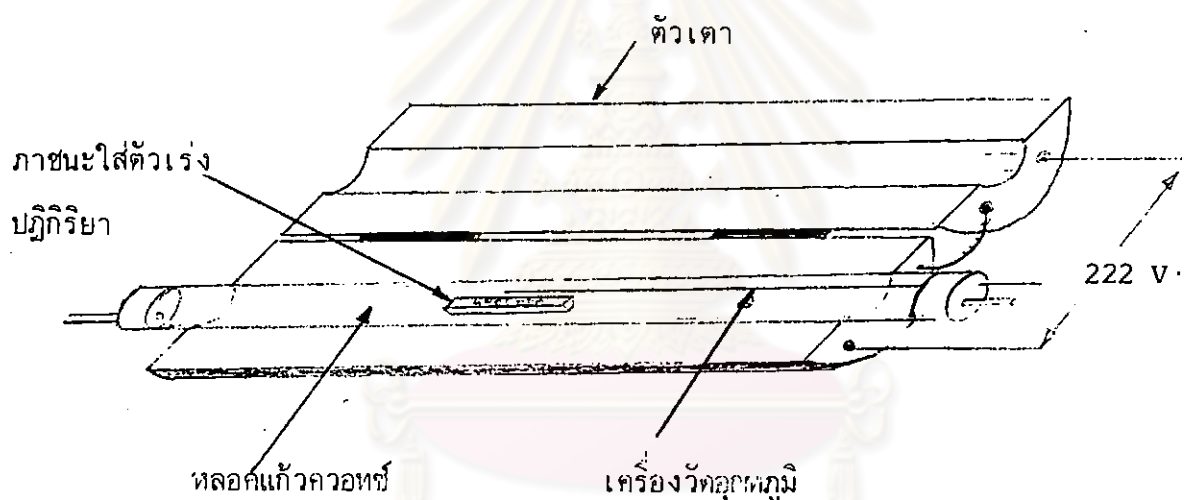
แตกต่างกันตรงที่ใช้กรวยแยกแทนบิวเรต เริ่มต้มนิเบคสารละลายโลหะที่คำนวณและเตรียมไว้แล้ว ตามข้อ ค ปริมาตรเท่ากับปริมาตรของรูปพรุนของขั้วพอร์ทที่อยู่ในขวดชมพู่ลงในกรวยแยก ให้ไม้ดูดดูดเอาอากาศภายในขวดชมพู่ และในขั้วพอร์ทออกมา ให้เกิดความดันภายในขวดชมพู่เป็นแบบได้บรรยากาศ ประมาณ 10 ปอนด์ ต่อตารางนิ้ว ประมาณ 10 นาที ค่อยๆ เปิดก๊อกกรวยแยกให้สารละลายโลหะหยดลงบนขั้วพอร์ทที่อยู่ภายในขวดชมพู่อย่างทั่วถึงทุกส่วน จนสารละลายหมดปิดก๊อกกรวยแยก ให้ไม้ดูดดูดอากาศภายในขวดชมพู่ต่อไป อีกประมาณ 20 นาที เพื่อการกระจายของสารละลายโลหะบนขั้วพอร์ทเป็นไปอย่างสม่ำเสมอ

จ. นำขั้วพอร์ทที่ได้จากข้อ (ง.) ไปอบแห้งที่อุณหภูมิ 70°C ช 24 ชั่วโมง เพื่อไล่น้ำ และให้โลหะกระจายไปบนขั้วพอร์ทอย่างสม่ำเสมอมากขึ้น

หลังจากทำการเตรียมตัวเร่งปฏิกิริยาตามข้อ จ. แล้ว ขั้นตอนต่อไปคือการนำไปเผาที่อุณหภูมิสูง (calcination) เพื่อให้สารประกอบโลหะอยู่ในรูปของผลึกที่เหมาะสม และเป็นการกำจัดอนุมูลธาตุหรือสารที่ไม่ต้องการออกไป เช่นอนุมูลไนเตรท, ธาตุออกซิเจน, หรืออื่นๆ และช่วยให้ผลึกสารประกอบออกไซด์โลหะจับบนขั้วพอร์ทได้แน่นมากขึ้น อุณหภูมิที่ใช้เผาสำหรับแต่ละโลหะมีค่าไม่เท่ากันขึ้นอยู่กับคุณสมบัติของโลหะนั้นๆ และลักษณะผลึกของโลหะออกไซด์ที่ต้องการ การปฏิบัติเกี่ยวกับเรื่องนี้ต้องอาศัยความรู้ความเข้าใจทางด้านสาขาวิชาอนินทรีย์ เคมีและวิทยาศาสตร์-

พื้นผิว ซึ่งเรายังมีความรู้ความเข้าใจน้อย ดังนั้นอุณหภูมิที่ใช้ในการเผา จึงยึดถือตามที่มีการทำการทดลองกันมา สำหรับพลาตินัมใช้อุณหภูมิ 500 °ซ (23) นิเกิลที่อุณหภูมิ 500 °ซ (10) ทองแดงที่อุณหภูมิ 600 °ซ (10) และโคบอลต์ที่อุณหภูมิ 600 °ซ (10)

เครื่องมือเผาตัวเร่งปฏิกิริยาที่อุณหภูมิสูง แสดงไว้ในรูปที่ 3.10



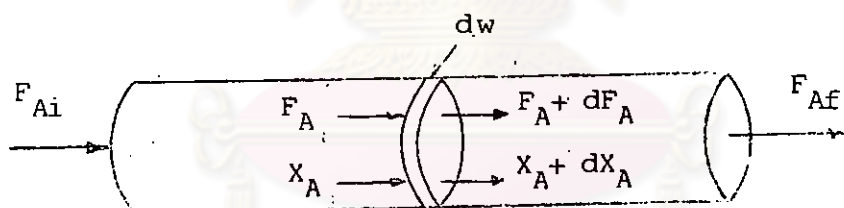
รูป 3.10 แสดงเครื่องมือใช้ในการเผาตัวเร่งปฏิกิริยาที่อุณหภูมิสูง

จากรูปที่ 3.10 เราใส่ตัวเร่งปฏิกิริยาในภาชนะขนาดเล็กบรรจุภายในหลอดแก้วควอทซ์ ผ่านก๊าซไนโตรเจนเข้าไปด้วยอัตราเร็วเชิงปริมาตร 200 ลูกบาศก์เซนติเมตรต่อนาที เพิ่มอุณหภูมิประมาณ 5 °ซ/นาที จนถึงอุณหภูมิที่ต้องการ แล้วเผาต่อไปที่อุณหภูมินั้นเป็นเวลา 5 ชั่วโมง สำหรับนิเกิลและพลาตินัม และ 8 ชั่วโมงสำหรับทองแดง และโคบอลต์ ทั้งนี้เนื่องจากออกไซด์ของโลหะทองแดงและโคบอลต์จะทำให้อยู่ในรูปที่มีออกซิเจนน้อยนั้นต้องเผาที่อุณหภูมิสูงมาก ประมาณ 800 °ซ สำหรับทองแดงและ 900 °ซ สำหรับโคบอลต์ (10) แต่ในที่นี้ใช้อุณหภูมิต่ำกว่า เนื่องจากป้องกันอะลูมินาละลายตัว และการเกิดสารประกอบระหว่างโลหะกับอะลูมินา (11) จึงใช้อุณหภูมิต่ำกว่า แต่เพิ่มระยะเวลาในการเผาให้มากขึ้น

หลังจากการเผาที่อุณหภูมิสูง ก่อนนำตัวเร่งปฏิกิริยาไปทดสอบ เราต้องรีดิวส์ให้สารประกอบออกไซด์โลหะ อยู่ในรูปโลหะหรือ โลหะออกไซด์ที่มีออกซิเจนน้อยที่สุด เพื่อให้ตัวเร่งปฏิกิริยามีความว่างไว้ในการทำปฏิกิริยา Anderson(24) ค้นพบทางเทอร์โมไดนามิกส์ พบว่าอุณหภูมิเหมาะสมในการรีดิวส์โลหะกลุ่ม VIII ในตารางธาตุ ร่วมกับ ทองแดง, เงิน (Ag), ทอง (Au), และ เรเนียม (Re) คือช่วงอุณหภูมิ 300-500 °C ในทำนองเดียวกันกับการเผาที่อุณหภูมิสูง การรีดิวส์โลหะออกไซด์ที่อุณหภูมิสูงต้องระวัง การเกิดสารประกอบระหว่างโลหะกับอะลูมินา และการสลายตัวของอะลูมินาด้วย Satterfield(11) เสนอแนะเอาไว้ว่าไม่ควรเกิน 600 °C สำหรับกรณีแรก และ 850 °C สำหรับกรณีหลัง นอกจากนี้อุณหภูมิที่ใช้รีดิวส์เราต้องคำนึงถึงคุณสมบัติของโลหะด้วยว่ามีความยากง่ายในการรีดิวส์หรือไม่ หรือความแข็งแรงของพันธะระหว่างโลหะกับออกซิเจนมากหรือน้อย สำหรับพลาตินัมเราใช้อุณหภูมิ 300 °C ตามการทดลองของ J.M. Smith และ J.M. Mayo (23) ระยะเวลา 3 ชั่วโมง นิเกิลอุณหภูมิ 600 °C ระยะเวลา 5 ชั่วโมง และทองแดงกับโคบอลต์ 600-650 °C 8 ชั่วโมง

3.3 การทดสอบตัวเร่งปฏิกิริยา (3), (11), (25)

3.3.1 การหาค่าอัตราเร็วปฏิกิริยาจากการทดลอง



รูปที่ 3.11 แสดง เตาปฏิกรณ์ เคมีของตัวเร่งปฏิกิริยาแบบเบตหยุดนิ่งที่มีการไหลเป็นแบบปลั๊ก (plug flow)

พิจารณาในส่วนหน้าตัดตัวเร่งปฏิกิริยาน้อยๆ, dw , ในรูปที่ 3.1 มีการเปลี่ยนแปลงการไหลของสาร A เป็น dF_A เนื่องจากการทำปฏิกิริยามีค่าสัดส่วนการเปลี่ยนรูปของสารเปลี่ยนแปลงไป dX_A จากการทำสมดุลมวลสารของสาร A รอบ dw ที่สภาวะไม่ขึ้นกับเวลา (steady state) จะได้ว่า

$$F_A = (F_A + dF_A) + (-r_w) dw \quad (3.7)$$

เมื่อ F_A = อัตราการไหลเข้าเชิงมวลของสาร ในส่วนหน้าตัดตัวเร่งปฏิกิริยา



r_w = อัตราเร็วปฏิกิริยาของสาร ต่อหน่วยน้ำหนักตัวเร่งปฏิกิริยา

จากนิยามสัดส่วนการเปลี่ยนรูป

$$X_A = \frac{F_{Ai} - F_A}{F_{Ai}} \tag{3.8}$$

หรือ $F_A = F_{Ai} - F_{Ai} X_A \tag{3.9}$

ดิฟเฟอเรนเชียลสมการ (3.9) จะได้

$$dF_A = d [F_{Ai} (1 - X_A)] \tag{3.10}$$

แทนค่าสมการ (3.10) ลงในสมการ (3.7) ได้ว่า

$$F_{Ai} dX_A = (-r_w) dw \tag{3.11}$$

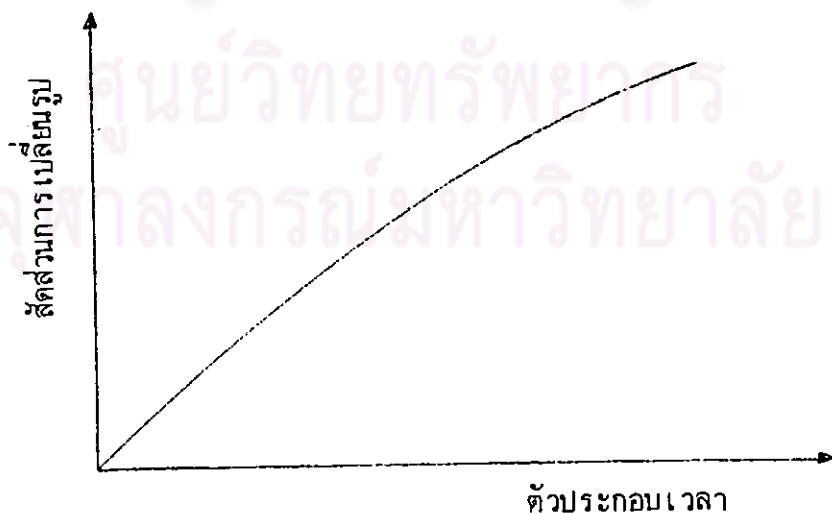
หรือ

$$(-r_w) = F_{Ai} \frac{dX_A}{dw}$$

เพราะว่า F_{Ai} คงที่ สมการ (3.11) เขียนใหม่ได้ว่า

$$(-r_w) = \frac{dX_A}{d(w/F_{Ai})} \tag{3.12}$$

สมการ (3.12) แสดงให้เห็นว่า ถ้ามีความสัมพันธ์ระหว่างสัดส่วนการเปลี่ยนรูปกับค่าตัวประกอบเวลา (w/F_{Ai}) ค่าความชันของความสัมพันธ์นั้นก็คือค่าอัตราเร็วปฏิกิริยา ดังนั้นในการทดลองข้อมูลที่ต้องการคือ ค่าสัดส่วนการเปลี่ยนรูปของสารที่สนใจ กับค่าตัวประกอบเวลา เทียบกับสารที่สนใจนั้น ความสัมพันธ์ระหว่างสัดส่วนการเปลี่ยนรูป และค่าตัวประกอบเวลา แสดงตัวอย่างในรูปที่ 3.12 (3), (11)



รูปที่ 3.12 แสดงความสัมพันธ์ระหว่างสัดส่วนการเปลี่ยนรูปกับค่าตัวประกอบเวลา

ตามรูป 3.12 ถ้าค่าตัวประกอบเวลาเท่ากับศูนย์หรืออัตราการไหลของสารมากๆ แล้ว สัดส่วนการ เปลี่ยนรูปจะมีค่าเท่ากับศูนย์หรือเข้าใกล้ศูนย์

3.3.2 การกำจัดผลของการถ่ายเทมวลสารและความร้อนในการทดลอง

ในบทที่ 2 ได้พิจารณารูปแบบสมการอัตราเร็วปฏิกิริยาที่ได้จากกลไกปฏิกิริยาแบบต่างๆ โดยมีได้คำนึงถึงผลของการถ่ายเทมวลสารและความร้อน ในการทดลองหาค่าอัตราเร็วปฏิกิริยา ถ้าผลของการถ่ายเทมวลสารและความร้อนเกี่ยวข้องกับ ค่าอัตราเร็วปฏิกิริยาและสมการอัตราเร็วปฏิกิริยาจะมีความผิดพลาด ดังนั้นการทดลองต้องกระทำในสภาวะที่ไม่มีผลของการถ่ายเทมวลสาร และความร้อนเกี่ยวข้อง

ปรากฏการณ์การถ่ายเทภายในเตาปฏิกรณ์เคมีของตัวเร่งปฏิกิริยา ขณะมีปฏิกิริยาเกิดขึ้น แบ่งออกได้เป็น 3 ขั้นตอน ดังแสดงในรูปที่ 3.13 ได้แก่ การถ่ายเทภายในตัวเร่งปฏิกิริยา (intraparticle or intrapellet transport) การถ่ายเทผ่านกาซฟิล์มระหว่างเฟสของไหลไปยังผิวภายนอกตัวเร่งปฏิกิริยา (interphase transport) และการถ่ายเทภายในเฟสของไหลเอง (intrareactor transport) ปรากฏการณ์สองชนิดหลังอาจเรียกว่า ปรากฏถ่ายเทภายนอกตัวเร่งปฏิกิริยา ถ้ามีความแตกต่างของความเข้มข้นของสาร (concentration gradients) และอุณหภูมิ (temperature gradients) ระหว่างเฟสของไหลขาเข้าและขาออกจากเตาปฏิกรณ์เคมี ลักษณะเช่นนี้เป็นความแตกต่างในแนวแกนเตาปฏิกรณ์ (axial gradients) และถ้าความแตกต่างเหล่านี้เกิดขึ้นในแนวรัศมีของเตาปฏิกรณ์เคมี ก็เป็นความแตกต่างในแนวรัศมี (radial gradients) ความแตกต่างเหล่านี้เป็นผลเนื่องมาจาก หรือทำให้เกิดการถ่ายเทมวลสาร และความร้อนแบบการพาหรือการแพร่ ปรากฏการณ์นี้เป็นปรากฏการณ์การถ่ายเทภายในเฟสของไหล

จากความคิดที่ถือกันไว้ที่ผิวตัวเร่งปฏิกิริยาอัตราการไหลมีค่าเท่ากับศูนย์ ดังนั้นจะเกิดฟิล์มบางๆ รอบตัวเร่งปฏิกิริยา ถ้าปฏิกิริยาเกิดขึ้นภายในตัวเร่งปฏิกิริยา จะมีความแตกต่างระหว่างความเข้มข้น หรืออุณหภูมิเกิดขึ้นระหว่างตัวเร่งปฏิกิริยากับเฟสของไหลภายในฟิล์มบางๆ นั้น ปรากฏการณ์นี้เป็นปรากฏการณ์การถ่ายเทผ่านฟิล์ม

เป็นที่ทราบกันดีว่า ภายในตัวเร่งปฏิกิริยาจะมีรูพรุน หรือช่องทางมากมาย ให้ของไหลไหลผ่านหรือแพร่เข้าไปได้ เมื่อมีปฏิกิริยาเกิดขึ้นภายในตัวเร่งปฏิกิริยา ลักษณะโครงสร้างเหล่านี้จะมีส่วนต้านทานการไหลของของไหล ดังนั้นอาจจะทำให้เกิดความแตกต่างความเข้มข้น และ

อุณหภูมิขึ้นภายในตัวเร่งปฏิกิริยา เป็นปรากฏการณ์ถ่ายเทภายในตัวเร่งปฏิกิริยา

สำหรับรายละเอียดปลีกย่อยของปรากฏการณ์การถ่ายเทแต่ละแบบจะไม่กล่าวถึงในที่นี้ แต่จะดูได้จากเอกสารอ้างอิง (26), (27)

3.3.2.1 การหาสภาวะการทดลองที่ไม่มีผลของการถ่ายเทมวล และความร้อน เกี่ยวข้องโดยวิธีการทำการทดลอง (11), (25)

อาศัยจากหลักการที่ว่า ถ้าการถ่ายเทมวลและความร้อนไม่มีผลเกี่ยวข้อง ต่อสภาวะการทดลองแล้ว เมื่อเวลาที่สารตั้งต้นสัมผัสตัวเร่งปฏิกิริยา (contact time) เท่ากันแล้ว สัดส่วนการเปลี่ยนรูปของสารตั้งต้น หรืออัตราเร็วปฏิกิริยาของสารตั้งต้น ย่อมมีค่าเท่ากัน (3), (11) เวลาที่สารตั้งต้นสัมผัสตัวเร่งปฏิกิริยาอาจใช้ค่าตัวประกอบเวลาแทนได้ เพราะ เวลาที่สารตั้งต้นสัมผัสตัวเร่งปฏิกิริยามีค่าเท่ากับอัตราส่วนระหว่างปริมาตร เตาปฏิกรณ์-เคมี ต่ออัตราการไหลของของไหลเชิงปริมาตร (11) ซึ่งมีความสัมพันธ์กับค่าตัวประกอบเวลา อันมีค่าเท่ากับอัตราส่วนระหว่างน้ำหนักตัวเร่งปฏิกิริยา ต่ออัตราการไหลของก๊าซเชิงมวล (3), (11)

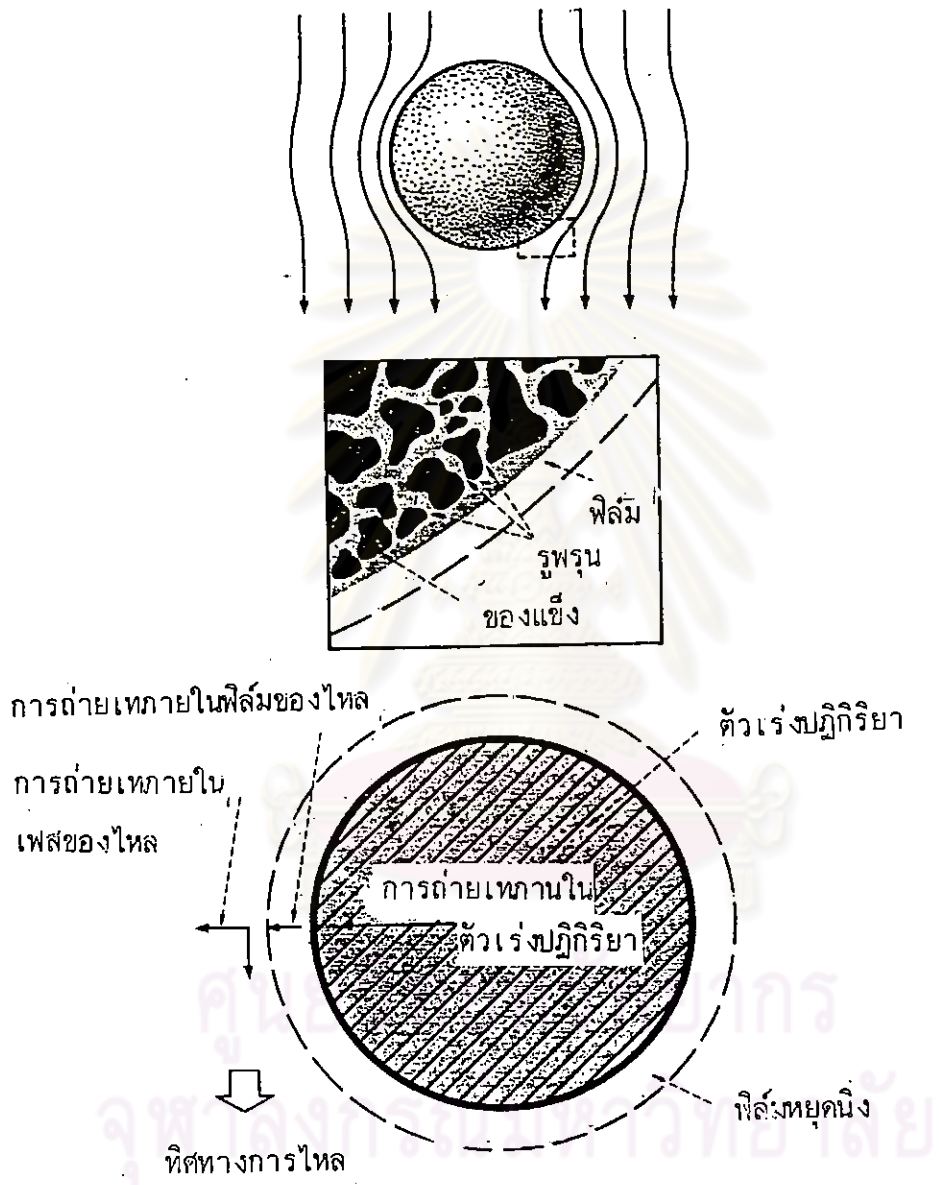
ความสัมพันธ์อีกประการหนึ่งที่สามารถบ่งชี้ถึงสภาวะการทดลองที่ไม่มีผลของการถ่ายเทมวลสาร และความร้อนเกี่ยวข้องคือ ความสัมพันธ์ระหว่างค่าความเร็วเชิงเส้น (linear velocity) กับสัดส่วนการเปลี่ยนรูป กล่าวคือ เมื่อค่าตัวประกอบเวลาเท่ากัน การถ่ายเทมวลสาร และความร้อนไม่มีผลเกี่ยวข้องถ้าสัดส่วนการเปลี่ยนรูปของสารเท่ากันไม่ว่าค่าความเร็วเชิงเส้นจะมีค่าเท่าใด (25)

รูปที่ 3.14 แสดงความสัมพันธ์ระหว่างสัดส่วนการเปลี่ยนรูป และค่าตัวประกอบเวลาที่ค่าความเร็วเชิงเส้นต่างๆ หรือกับค่าความเร็วเชิงเส้นต่างๆ ที่ค่าตัวประกอบเวลาเท่ากัน

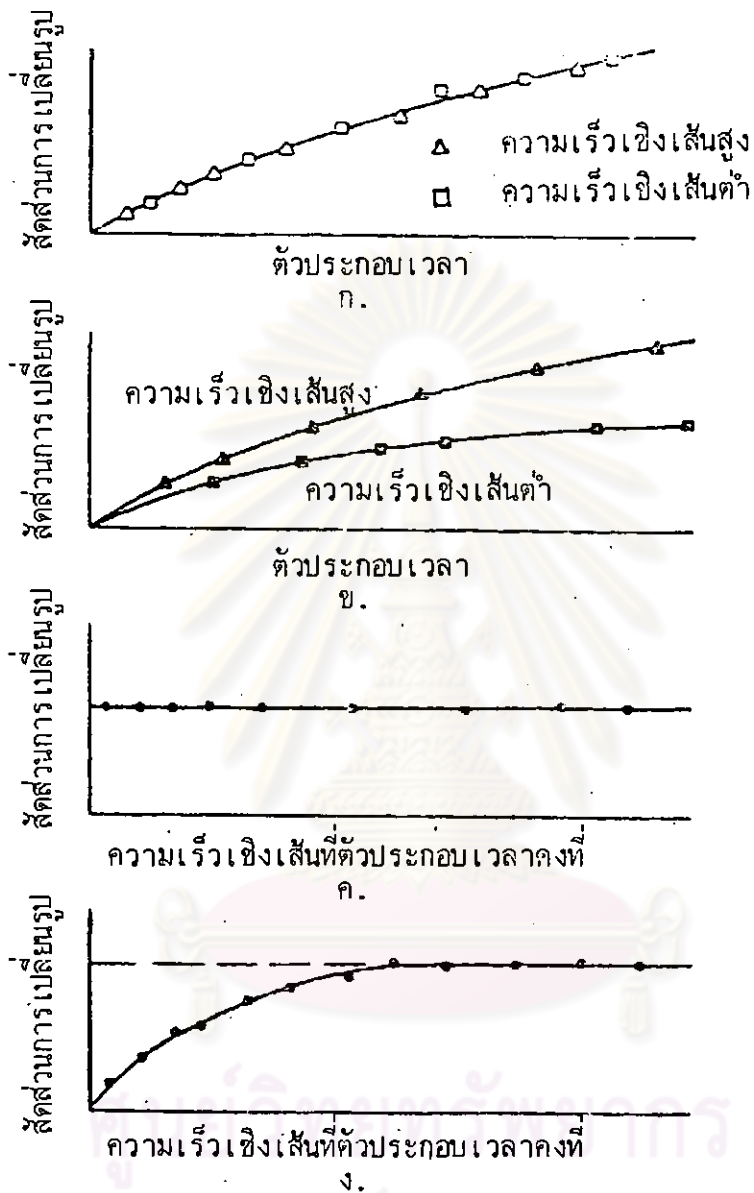
3.3.2.2 การหาสภาวะการทดลองที่ไม่มีผลของการถ่ายเทมวลและความร้อน เกี่ยวข้อง โดยวิธีการคำนวณจากสมการชิตจำกัด. (11), (28)

สมการชิตจำกัดที่จะกล่าวถึงในที่นี้ สามารถใช้ได้กับตัวเร่งปฏิกิริยาเม็ดเดี่ยว หรือเตาปฏิกรณ์เคมีของตัวเร่งปฏิกิริยาแบบเบดหยุดนิ่ง จะกล่าวถึงสมการชิตจำกัดของแต่ละปรากฏการณ์ เรียงตามลำดับดังนี้

ก. สมการชิตจำกัดสำหรับปรากฏการณ์การถ่ายเทภายในตัวเร่งปฏิกิริยา



รูปที่ 3.13 แสดงปรากฏการณ์ถ่ายเทที่เกิดขึ้น ภายในเตาปฏิกรณ์เคมีของตัวเร่งปฏิกิริยา
 ขณะมีปฏิกิริยาเกิดขึ้น (26)



รูปที่ 3.14 แสดงความสัมพันธ์ระหว่างสัดส่วนการเปลี่ยนแปลงรูปและค่าตัวประกอบเวลาที่ค่าความเร็วเชิงเส้นต่างๆ หรือกับค่าความเร็วเชิงเส้นต่างๆ ที่ค่าตัวประกอบเวลาเท่ากัน (25)

- ก. อาจจะไม่มียผลของการถ่ายเทมวลและความร้อนภายนอกตัวเร่งปฏิกิริยาที่เกี่ยวข้อง
- ข. มีผลของการถ่ายเทมวลและความร้อนที่เกี่ยวข้อง
- ค. อาจจะไม่มียผลของการถ่ายเทมวลและความร้อนภายนอกตัวเร่งปฏิกิริยา
- ง. มีผลของการถ่ายเทมวลและความร้อนที่เกี่ยวข้องที่ความเร็วเชิงเส้นต่ำ ๆ

เมื่อตัวเร่งปฏิกิริยา ถือว่ามีอุณหภูมิคงที่ ค่าอัตราเร็วปฏิกิริยาที่วัดได้ จะแตกต่าง จากค่าอัตราเร็วปฏิกิริยาแท้จริง กรณีนี้ไม่มีความแตกต่างความเข้มข้นในภายในตัวเร่งปฏิกิริยา ไม่เกิน 5 เปอร์เซ็นต์ ถ้า

$$\phi = \frac{(-r) r_p^2}{D_e C_s} < \frac{1}{n} \quad (3.13)$$

โดยที่ $(-r)$ = อัตราเร็วปฏิกิริยาที่สังเกตได้ต่อหน่วยปริมาตรตัวเร่งปฏิกิริยา
 r_p = รัศมีตัวเร่งปฏิกิริยา
 D_e = สัมประสิทธิ์การแพร่ประสิทธิผล (effective diffusivity)
 C_s = ความเข้มข้นของสารตั้งต้นที่ผิวภายนอกตัวเร่งปฏิกิริยา
 n = ลำดับรวมของปฏิกิริยา

และความแตกต่างของอุณหภูมิภายในตัวเร่งปฏิกิริยาไม่มีผลทำให้ค่าอัตราเร็วปฏิกิริยา จากการทดลอง แตกต่างจากตัวเร่งปฏิกิริยาแท้จริง กรณีอุณหภูมิคงที่ตลอดตัวเร่งปฏิกิริยา เกิน 5 เปอร์เซ็นต์ เมื่อ

$$\frac{\Delta H (-r) r_p^2}{\lambda_b T_s} < \frac{T_s R}{E_s} \quad (3.14)$$

โดยที่ ΔH = ค่าความร้อนของปฏิกิริยา
 R = ค่าคงที่ของกาซ
 E_s = พลังงานกระตุ้นแท้จริงของปฏิกิริยา
 T_s = อุณหภูมิที่ผิวตัวเร่งปฏิกิริยา
 λ_b = ค่าความนำความร้อนของตัวเร่งปฏิกิริยา

ข. สมการชี้ดจำกัด สำหรับปรากฏการณ์ถ่ายเทผ่านฟิล์มระหว่างเฟสของไหลกับตัวเร่งปฏิกิริยาที่วัดได้ผิดพลาดไม่เกิน 5 เปอร์เซ็นต์จากค่าอัตราเร็วปฏิกิริยาแท้จริง เมื่อ

$$\frac{\Delta H (-r) r_p}{h T_b} < \frac{0.15 R T_b}{E_s} \quad (3.15)$$

โดยที่ h = สัมประสิทธิ์การถ่ายเทความร้อนแบบการพา
 T_b = อุณหภูมิของเฟสของไหล

ภายใต้สภาวะอุณหภูมิคงที่ ความแตกต่างของความเข้มข้นของสารตั้งต้น ระหว่างเฟสของไหลกับผิวภายนอกตัวเร่งปฏิกิริยาไม่คำนึงถึงได้ ถ้า

$$\frac{(-r) r_p}{C_b k_c} < \frac{0.15}{n} \quad (3.16)$$

โดยที่ k_c = สัมประสิทธิ์การถ่ายเทมวล

C_b = ความเข้มข้นของสารตั้งต้นในเฟสของไหล

ค. สมการขีดจำกัดสำหรับปรากฏการณ์การถ่ายเทในเฟสของไหล

ค่าอัตราเร็วปฏิกิริยามีความผิดพลาดไม่เกิน 5 เปอร์เซ็นต์ จากกรณีอุณหภูมิคงที่ เมื่อการไหลเป็นแบบปลัก และไม่มี ความแตกต่างของความเข้มข้นและอุณหภูมิภายในตัวเร่งปฏิกิริยา และระหว่างเฟสของไหลกับตัวเร่งปฏิกิริยาสมการขีดจำกัด เป็น

$$\frac{\Delta H (-r)_b R_o^2}{\lambda_e T_w} < 0.4 \frac{R T_w}{E} \quad (3.17)$$

เมื่อ $(-r)_b$ = อัตราเร็วปฏิกิริยาต่อหน่วยปริมาตรของเบด

T_w = อุณหภูมิที่ผนังเตาปฏิกรณ์เคมี

λ_e = ความนำความร้อนประสิทธิผล (effective thermal conductivity)

R_o = รัศมีของเตาปฏิกรณ์เคมี

และสภาวะการไหลจะเป็นแบบปลัก หรือไม่มีการกระจายมวลสาร ในแนวแกนเตาปฏิกรณ์เคมี เมื่อ

$$\frac{L}{d_p} > \frac{20n}{Pe_a} \ln \frac{C_i}{C_f} \quad (3.18)$$

โดยที่ L = ความสูงของเบด

d_p = ขนาดเส้นผ่านศูนย์กลางของตัวเร่งปฏิกิริยา

C_i = ความเข้มข้นขาเข้าของสารตั้งต้น

C_f = ความเข้มข้นขาออกของสารตั้งต้น



Pe_a = ตัวเลขเพคเลต (Peclet number)

$$= \bar{u} d_p / D_a$$

D_a = สัมประสิทธิ์การกระจายในแนวแกนเตาปฏิกรณ์เคมี

\bar{u} = ความเร็วเฉลี่ยของของไหล

ตามปกติแล้วไม่นิยมใช้สมการชี้จำกัดคำนวณหาสภาวะการทดลองที่ไม่มีผลของการถ่ายเทมวลและความร้อนโดยตรง นิยมใช้สำหรับทดสอบสภาวะการทดลองนั้นๆ ว่า มีผลของการถ่ายเทมวลสาร และความร้อนเกี่ยวข้องด้วยหรือไม่ เพราะการกระทำในลักษณะหลังสะดวกกว่า

3.3.3 การหาค่าพลังงานกระตุ้นของสมการอัตราเร็วปฏิกิริยาแบบยกกำลัง (power law rate expression)

พิจารณาสมการอัตราเร็วปฏิกิริยาแบบยกกำลังตั้งสมการ (3.19)

$$(-r_A) = k P_A^n \quad (3.19)$$

เมื่อ r_A = อัตราเร็วปฏิกิริยาของสาร A

k = ค่าคงที่ของอัตราเร็วปฏิกิริยาตามสมการ (3.19)

n = ค่าคงที่

P_A = ความดันย่อยของสาร A

โดยการสมมติว่า k เป็นไปตามความสัมพันธ์แบบอาร์เรเนียส และให้ค่า n และค่าพลังงานกระตุ้นคงที่ในช่วงอุณหภูมิที่สนใจ สมการ (3.19) กลายเป็น

$$(-r_A) = A \exp(-E_a/RT) P_A^n \quad (3.20)$$

จากหัวข้อ 3.3.1 สมการ (3.12) แทนลงในสมการ (3.20) ได้ว่า

$$\bar{d}(W/F_{Ai}) = A \exp(-E_a/RT) P_A^n$$

หรือ

$$= A \exp(-E_a/RT) P_A^n \bar{d}\left(\frac{W}{F_{Ai}}\right) \quad (3.21)$$

อินทิเกรตสมการ(3.21) ได้ว่า

$$X_A = A \exp(-E_a/RT) \int P_A^n \cdot d \left(\frac{W}{F_{Ai}} \right) \quad (3.22)$$

หรือ

$$X_A = A \exp(-E_a/RT) f \left(P_A, \frac{W}{F_{Ai}} \right) \quad (3.23)$$

ใส่ค่าลอการิทึมทั้งสองข้างสมการ(3.23)

$$\ln X_A = \frac{E_a}{RT} + \ln A f \left(P_A, \frac{W}{F_{Ai}} \right) \quad (3.24)$$

สมการ(3.24) ชี้ให้เห็นว่า สำหรับสมการอัตราเร็วแบบยกกำลังตามสมการ(3.19)

แล้ว เราสามารถหาค่าพลังงานกระตุ้นได้จากความสัมพันธ์ระหว่างฟังก์ชันลอการิทึมของสัดส่วนการเปลี่ยนแปลงกับส่วนกลับของอุณหภูมิ

3.3.4 ขั้นตอนการทำการทดลอง

เนื่องจากปฏิกิริยาระหว่างก๊าซไฮโดรเจนและก๊าซออกซิเจน เป็นปฏิกิริยาคายความร้อน มีค่าเอนทัลปีของปฏิกิริยา เท่ากับ 115,600 แคลอรีต่อโมล (23) และเตาปฏิกรณ์เคมีที่ออกแบบไว้ไม่มีระบบระบายความร้อนอื่น ยกเว้นระบบระบายความร้อนด้วยการพาความร้อนของก๊าซเอง การใช้ระบบระบายความร้อนอื่นช่วย จะมีความยุ่งยากทั้งทางการสร้าง และการทำการทดลอง ดังนั้น ในการทำการทดลอง จึงจำเป็นต้อง หาความเหมาะสมระหว่างน้ำหนักของตัวเร่งปฏิกิริยาที่ใช้กับข้อจำกัดของเตาปฏิกรณ์เคมีในเรื่องระบบระบายความร้อน การใช้ตัวเร่งปฏิกิริยามาก ความร้อนที่ได้จากการเกิดปฏิกิริยาจะมาก อัตราเร็วของก๊าซที่ผ่านเตาปฏิกรณ์เคมีจึงต้องมากตาม ไปด้วย เป็นการสูญเสียก๊าซไปโดยไม่จำเป็น และอาจจะเกินช่วงอัตราเร็ว ก๊าซที่เครื่องมือวัดอัตราการไหลของก๊าซไม่สามารถวัดได้ การใช้ปริมาณความเข้มข้นของก๊าซออกซิเจน ในบรรยากาศของก๊าซไฮโดรเจน และก๊าซไนโตรเจน ควรใช้ในปริมาณน้อยถ้าใช้ในปริมาณมาก จะเกิดผลดังได้กล่าวมา และต้องอยู่ในช่วงไม่ทำให้เกิดการระเบิดของก๊าซได้ จากผลการทดลองของ J.M.Maymo และ J.M.Smith (23) พบว่า ปริมาณความเข้มข้นของก๊าซออกซิเจนในบรรยากาศก๊าซไฮโดรเจนไม่ควรเกิน 6 เปอร์เซ็นต์โดยปริมาตร การใช้ก๊าซไนโตรเจนผสมเข้าไปด้วยจะช่วยลดความร้อนของปฏิกิริยา และเป็นการช่วยระบายความร้อนเนื่องจากปฏิกิริยา จากผลดังกล่าวมาทั้งหมด ก่อนทำการทดลอง จึงจำเป็นต้องหาสภาวะการทดลองที่เหมาะสม และสามารถควบคุมอุณหภูมิภายในเบต

ของตัวเร่งปฏิกิริยาได้

การทดลองในที่นี้ใช้ความเข้มข้นของกาซออกซิเจนไม่เกิน 6 เปอร์เซ็นต์โดยปริมาตร ความเข้มข้นของกาซไฮโดรเจนอยู่ในช่วง 20-60 เปอร์เซ็นต์โดยปริมาตร และของกาซไนโตรเจน อยู่ในช่วง 40-80 เปอร์เซ็นต์โดยปริมาตร น้ำหนักของตัวเร่งปฏิกิริยาอยู่ในช่วง 10-50 มิลลิกรัม อัตราการไหลของกาซรวมไม่เกิน 4500 ลูกบาศก์เซนติเมตรต่อนาที เนื่องจากปริมาณตัวเร่งปฏิกิริยาที่ใช้้น้อย ทำให้ความสูงของเบดอยู่ในช่วงประมาณ 1.5-4 มิลลิเมตร เพื่อป้องกันการไหลผ่านของกาซอย่างรวดเร็ว หรือเกิดแชลเนอลิง (channeling) และให้การไหลเป็นแบบปลั๊ก (plug flow) เราต้องคำนวณหาช่วงการไหลของกาซที่ทำให้ไม่เกิดปัญหานี้ โดยอาศัยการคำนวณจากขีดจำกัด (criteria) หรือสมการขีดจำกัดของสภาวะการทดลอง

เพื่อป้องกันการไหลผ่านของกาซอย่างรวดเร็ว สมการขีดจำกัดกล่าวว่า (11)

$$\frac{L}{d_p} > 10 \quad (3.25)$$

เมื่อ L = ความสูงของเบด
 d_p = ขนาดเส้นผ่านศูนย์กลางของตัวเร่งปฏิกิริยา

จากการคำนวณตามสมการ 3.7 เมื่อ $L = 1.5$ มิลลิเมตร d_p ต้องมีค่าน้อยกว่า 0.15 มิลลิเมตร หรือ 150 เมช ตามระบบ Tyler

สมการการไหลเป็นแบบปลั๊ก แสดงในสมการที่ 3.8 (28)

$$\frac{L}{d_p} > \frac{20}{Pe_a} n \ln \frac{c_i}{c_f} \quad (3.26)$$

เมื่อ n = ลำดับของปฏิกิริยา
 c_i = ความเข้มข้นขาเข้าของกาซที่สนใจ
 c_f = ความเข้มข้นขาออกของกาซที่สนใจ
 Pe_a = ตัวเลขเพคเลต (Peclet number) ตามแนวแกนเตาปฏิกรณ์ = $\frac{d_p v}{D_a}$
 D_a = ค่าการแพร่ของกาซตามแนวแกนของเตาปฏิกรณ์เคมี
 d_p = ขนาดเส้นผ่านศูนย์กลางของตัวเร่งปฏิกิริยา

V = ความเร็วขุปเปอร์ฟิเชียล

Satterfield (11) และ Mears (28) กล่าวว่า เมื่อสภาวะเป็นไปตามสมการ (3.25) แล้ว ค่า $Pe_a \approx 2$ เมื่อค่า เรย์โนลด์ (Re) เทียบกับขนาดเส้นผ่าศูนย์กลางของตัวเร่งปฏิกิริยามีค่ามากกว่า 2 ผลการคำนวณตามสมการ (3.26) พบว่า เมื่อ $C_i/C_f = 2 : 1$ หรือค่าการเปลี่ยนแปลงรูปของกาซที่เราสนใจในที่คือกาซออกซิเจนมีค่า 50 เปอร์เซ็นต์ อัตราการไหลของกาซรวมเชิงปริมาตรมีค่าตั้งแต่ 482 ลูกบาศก์เซนติเมตรต่อนาที และค่า L คือความสูงของเบดควรมีค่าตั้งแต่ 1.33 มิลลิเมตร สภาวะการทดลองเช่นนี้ เราจึงจะถือว่าการไหลของกาซเป็นแบบปลัก รายละเอียดของการคำนวณและผลการคำนวณที่สภาวะอื่น แสดงไว้ในภาคผนวก จ

ก่อนทำการทดลองเราจำเป็นต้องทดสอบเครื่องมือวัดที่ใช้ในการวิเคราะห์กาซทั้งเครื่องกาซโครมาโทกราฟฟี และเครื่องวัดอัตราการไหลของกาซแบบมาโนมิเตอร์ว่าให้ผลการวิเคราะห์กาซใกล้เคียงกันหรือไม่ ผลการทดสอบ แสดงไว้ในภาคผนวก ง ผลที่ได้สรุปว่าการวิเคราะห์องค์ประกอบของกาซด้วยเครื่องมือวัดทั้งสองให้ผลใกล้เคียงกัน

ดังได้กล่าวไว้ในบทที่ 1 การทดลองในที่นี้เป็นการหาตัวเร่งปฏิกิริยาที่เหมาะสมสำหรับปฏิกิริยาระหว่างกาซไฮโดรเจนและกาซออกซิเจนในบรรยากาศของกาซไฮโดรเจน โดยอาศัยหลักการตามเหมาะสมทั้งทางจลนพลศาสตร์ และทางด้านความปลอดภัยรวมทั้งทางด้านเศรษฐกิจ ในขั้นแรก เลือกตัวเร่งปฏิกิริยาที่จะใช้ในการทดสอบจากรายงานการทดลองที่ได้มีการกระทำกันมา โดยอาศัยหลักการว่าตัวเร่งปฏิกิริยาใดสามารถทำให้ปฏิกิริยานี้เกิดขึ้นได้ที่อุณหภูมิต่ำ เพราะอุณหภูมิเป็นตัวแปรหนึ่งที่บ่งบอก ถึงทางด้านความปลอดภัย ตัวเร่งปฏิกิริยาที่ทำให้ปฏิกิริยานี้เกิดขึ้นได้ที่อุณหภูมิต่ำ ก็จะมีความปลอดภัย มากกว่าตัวเร่งปฏิกิริยาที่ทำให้ปฏิกิริยานี้เกิดขึ้นได้ที่อุณหภูมิสูงกว่า จากผลการเลือก ได้ตัวเร่งปฏิกิริยาที่ใช้ในการทดสอบได้แก่ พลาตินัม นิเกิล ทองแดง โคบอลท์ ตัวเร่งปฏิกิริยาเหล่านี้ถูกจับยึดอยู่บนซัพพอร์ทที่มีพื้นที่ผิวสูงในที่คืออะลูมินาซึ่งมีพื้นที่ผิวทั้งหมดเท่ากับ 70 เมตร²/กรัม

การทดสอบตัวเร่งปฏิกิริยาเหล่านี้ จะทำการทดลองตามขั้นตอนต่อไปนี้คือ

ก. ทดลองดูว่าตัวเร่งปฏิกิริยาต่างๆ นั้น ทำให้ปฏิกิริยานี้ เกิดขึ้นได้ในช่วงอุณหภูมิไหน โดยการเก็บข้อมูลผลการทดลองระหว่างอุณหภูมิกับสัดส่วนการเปลี่ยนแปลงรูปของกาซออกซิเจน

แสดงความสัมพันธ์ออกมาในรูปของอาเรเนเนียส โดยการใช้อัตราการไหลของกาซรวมเข้าเตาปฏิกรณ์เคมีเท่ากัน องค์ประกอบของกาซขาเข้าเท่ากัน น้ำหนักตัวเร่งปฏิกิริยาเท่ากัน เพื่อให้กาซไหลผ่านเบดด้วยระยะเวลาเท่ากัน หรือเวลาสัมผัสตัวเร่งปฏิกิริยา (contact time) เท่ากัน

ข. จากผลการทดสอบตัวเร่งปฏิกิริยาตามข้อ ก. นำมาพิจารณาร่วมกับผลทางด้านเศรษฐกิจ เลือกตัวเร่งปฏิกิริยาที่เหมาะสมทั้งทางด้านความปลอดภัย ความว่องไวในการทำปฏิกิริยา พลังงานที่เกี่ยวข้อง โดยพิจารณาจากตัวแปรอุณหภูมิ ส่วนทางด้านเศรษฐกิจ พิจารณาจากปริมาณสารที่ใช้ในการเตรียมตัวเร่งปฏิกิริยา ราคาของสารที่ใช้ โดยไม่พิจารณาผลทางด้าน การเตรียมตัวเร่งปฏิกิริยาเพราะเราถือว่า วิธีการเตรียมตัวเร่งปฏิกิริยาเป็นวิธีการเดียวกัน ซัพพอร์ตตัวเดียวกัน แม้ว่าการเตรียมจะมีข้อแตกต่างบางประการ แต่ถือได้ว่าข้อแตกต่างเหล่านั้นมีผลทางด้านเศรษฐกิจน้อยกว่า ปริมาณสาร และราคาสารที่ใช้เตรียมตัวเร่งปฏิกิริยา จากผลการพิจารณาตามข้อ ข. นี้ เราจะได้ตัวเร่งปฏิกิริยาที่เหมาะสมตามต้องการ

ค. ทำการทดลองตัวเร่งปฏิกิริยาที่เหมาะสมนั้น หาค่าตัวแปรทางด้านจลนพลศาสตร์ ก่อนทำการทดลองผลอันนี้ . ต้องหาปริมาณเหมาะสมของตัวเร่งปฏิกิริยาที่อยู่บนซัพพอร์ตอันทำให้ความว่องไวในการทำปฏิกิริยาดีที่สุด เนื่องจากซัพพอร์ตหนึ่งสามารถรับปริมาณเหมาะสมของตัวเร่งปฏิกิริยาค่าหนึ่งเท่านั้น เหตุผลนี้พิจารณาได้ง่ายๆ กล่าวคือ การเพิ่มปริมาณสารให้ซัพพอร์ตติดซัพมากขึ้นๆ โอกาสที่สารจะถูกติดซัพแพร่กระจายได้ดีก็น้อยลงไป ๆ โอกาสของผลึกโลหะที่จะกระจายกันดีก็น้อยลง หมายความว่าโอกาสที่ว่าได้ผลึกโลหะขนาดใหญ่ก็มีมากขึ้น ทำให้พื้นที่ผิวอันว่องไวต่อการทำปฏิกิริยาลดลงไป ตัวเร่งปฏิกิริยาที่ได้ก็มีความว่องไวในการทำปฏิกิริยาน้อยตาม ดังนั้นในขั้นแรกการเพิ่มปริมาณสารที่อยู่บนซัพพอร์ตจะช่วยให้ตัวเร่งปฏิกิริยามีความว่องไวในการทำปฏิกิริยามากขึ้น จนถึงจุดๆ หนึ่ง การเพิ่มปริมาณสารบนซัพพอร์ตจะมีผลในทางตรงกันข้าม ผลอันนี้มีเหตุมาจากคุณสมบัติทางกายภาพของซัพพอร์ตด้วย เช่น ขนาดของรูพรุนในซัพพอร์ต ลักษณะโครงสร้างของรูพรุน ซัพพอร์ตที่มีขนาดพื้นที่ผิวทั้งหมดค่าหนึ่งปริมาณตัวเร่งปฏิกิริยาเหมาะสมที่อยู่บนซัพพอร์ตนั้น ก็มีค่าๆ หนึ่ง

การทดลองกระทำได้ง่ายๆ กล่าวคือ ทำการเตรียมตัวเร่งปฏิกิริยาที่เหมาะสมนั้น ในปริมาณต่างๆ กันลงบนซัพพอร์ต แล้วทำการทดลองด้วยการผ่านอัตราการไหลของกาซรวมเท่ากัน น้ำหนักตัวเร่งปฏิกิริยาเท่ากัน เพื่อให้เวลาการสัมผัสตัวเร่งปฏิกิริยาเท่ากัน ที่อุณหภูมิคงที่ เก็บข้อมูลระหว่างค่าการเปลี่ยนแปลงรูปของกาซออกซิเจนอันเป็นกาซที่สนใจจะกำจัดออกไปจากบรรยากาศของกาซไฮโดรเจน กับปริมาณสารโลหะที่เหมาะสม ค่าต่างๆ ที่อยู่บนซัพพอร์ต ปริมาณสารโลหะ

ค่าใด ให้ค่าการเปลี่ยนแปลงรูปของกาซออกซิเจนสูงสุด ปริมาณสารโลหะค่านั้นเหมาะสมที่สุดที่ซัพพอร์นั้นๆ รับผิดชอบได้และมีความห่วงใยในการทำปฏิกิริยามากที่สุด

ง. นำตัวเร่งปฏิกิริยาที่เหมาะสม ตามข้อ ข. และ ค. มาทำการทดสอบหาตัวแปรทางจลนพลศาสตร์ ด้วยการทำการทดลองเก็บข้อมูลระหว่างค่าการเปลี่ยนแปลงรูปของกาซออกซิเจนกับค่าตัวประกอบเวลา (time factor) ซึ่งในที่นี้หมายถึงอัตราส่วนระหว่าง น้ำหนักตัวเร่งปฏิกิริยาต่ออัตราการไหลของกาซออกซิเจนด้วยการให้องค์ประกอบของกาซผสมคงที่ แล้วเปลี่ยนแปลงค่าอัตราการไหลของกาซผสมรวมเปลี่ยนแปลงไป ดังนั้นค่าตัวประกอบเวลาก็เปลี่ยนแปลงไป เก็บข้อมูลค่าตัวประกอบเวลานี้กับค่าการเปลี่ยนแปลงรูปของกาซออกซิเจน นำไปวิเคราะห์ผลต่อไปโดยข้อมูลที่เก็บและจะนำไปวิเคราะห์ผลทางจลนพลศาสตร์นี้ ต้องเป็นข้อมูลที่เรามีความมั่นใจว่าไม่มีผลของการถ่ายเทความร้อน และมวลเข้าไปเกี่ยวข้อง การทดสอบกระทำได้ตามหลักการที่อธิบายเอาไว้แล้วในหัวข้อ 3.3. กล่าวคือในขั้นแรกเราต้องทำการทดลองหาช่วงอัตราการไหลที่ถือได้ว่าไม่มีการถ่ายเทมวลภายนอกระหว่างกาซเฟสภายนอกตัวเร่งปฏิกิริยากับผิวภายนอกตัวเร่งปฏิกิริยา (external mass transfer) ด้วยการใช้น้ำหนักของตัวเร่งปฏิกิริยาค่าหนึ่ง ที่น้ำหนักตัวเร่งปฏิกิริยาค่าหนึ่งและช่วงอัตราการไหลของกาซรวม เมื่อองค์ประกอบของกาซผสมคงที่ช่วงหนึ่ง เก็บข้อมูลระหว่างค่าสัดส่วนการเปลี่ยนแปลงรูปของกาซออกซิเจนและตัวประกอบเวลา (time factor) ทำการทดลองใหม่ โดยเปลี่ยนแปลงค่าน้ำหนักตัวเร่งปฏิกิริยา และช่วงอัตราการไหลของกาซรวม เก็บข้อมูลเช่นเดิม ทำการทดลองเช่นนี้ จนช่วงอัตราการไหลของกาซเปลี่ยนแปลงประมาณ 10 เท่าหรือมากกว่า นำผลการทดลองมาเปรียบเทียบดูว่า ที่ช่วงอัตราการไหลช่วงใดบ้างที่ให้ค่าสัดส่วนการเปลี่ยนแปลงรูปของกาซออกซิเจนเท่ากัน เมื่อตัวประกอบเวลาเท่ากัน หรือเวลาให้กาซสัมผัสกับตัวเร่งปฏิกิริยาเท่ากัน เราถือว่าช่วงอัตราการไหลช่วงนั้น ๆ ไม่มีผลของการถ่ายเทมวลภายนอกมาเกี่ยวข้อง ทั้งนี้เราจะต้องไม่ลืมว่าการทดลองกระทำที่อุณหภูมิคงที่ขั้นตอนต่อไป ต้องทำการทดสอบว่าสภาวะการทดลองใดที่ไม่มีผลการถ่ายเทมวลภายในตัวเร่งปฏิกิริยา (internal mass transfer) ขนาดของตัวเร่งปฏิกิริยาให้มีขนาดเล็กลง โดยให้น้ำหนักของตัวเร่งปฏิกิริยาคงที่ แล้วเก็บข้อมูลระหว่างการเปลี่ยนแปลงรูปของกาซออกซิเจนกับตัวประกอบเวลาเช่นเดิม ในช่วงอัตราการไหลที่ ถือว่าไม่มีการถ่ายเทมวลจากภายนอกมาเกี่ยวข้อง แล้วเปรียบเทียบผลการทดลองดูว่า ขนาดของตัวเร่งปฏิกิริยาค่าใด ที่เมื่อค่าตัวประกอบเวลาเท่ากันแล้วให้ผลสัดส่วนการเปลี่ยนแปลงรูปของกาซออกซิเจนเท่ากัน จากผลการทดลองเราจะหาสภาวะการทดลองที่มีความมั่นใจว่าไม่มีผลของการถ่ายเทมวลมาเกี่ยวข้อง และจากสภาวะดังกล่าว ถือได้ว่าไม่มีการถ่ายเทความร้อนมาเกี่ยวข้อง (23)

รูปลักษณะของเส้นความสัมพันธ์ของสมการ(3.27)มีลักษณะดังแสดงในรูปที่ 3.12 การลากเส้นความสัมพันธ์ และการหาค่าคงที่ตามสมการ(3.27) ต้อง อาศัยเครื่องคอมพิวเตอร์ การหาความสัมพันธ์ของรูปภาพออกมาในรูปสมการคล้ายกับสมการ (3.27) นี้ จะช่วยให้เราสะดวกในการนำไปวิเคราะห์ต่อไป

เนื่องจากเราทราบว่า อัตราเร็วของการเกิดปฏิกิริยามีค่าเท่ากับ $dx_{O_2}/dt(T.F.)$ ดังอธิบายในหัวข้อ 3.3.3 ดังนั้น สามารถหาค่าอัตราเร็วของการเกิดปฏิกิริยาที่ค่าตัวประกอบเวลาค่าหนึ่งได้ โดยการตีฟเฟอเรนเชียลสมการ(3.27) แล้วแทนค่าตัวประกอบเวลา และที่ค่าตัวประกอบเวลาค่าหนึ่ง เราสามารถหาค่าความดันย่อยของก๊าซต่างๆ ได้ จากผลการทดลอง นั่นคือ เราจะมีข้อมูลระหว่างอัตราเร็วการเกิดปฏิกิริยากับค่าความดันย่อยของก๊าซต่างๆ พร้อมที่จะนำไปทดสอบทางสถิติกับสมการอัตราเร็วที่เสนอแนะเอาไว้

ดังได้กล่าวไว้ในตอนต้นแล้ว การทดลองในที่นี้เป็นการหาตัวเร่งปฏิกิริยาที่เหมาะสมสำหรับปฏิกิริยาระหว่างก๊าซไฮโดรเจนและก๊าซออกซิเจนในบรรยากาศของก๊าซไฮโดรเจน การหาสมการอัตราเร็วสำหรับตัวเร่งปฏิกิริยาที่เหมาะสม รูปสมการที่ง่ายที่สุดและสะดวกที่สุด คือ รูปสมการอัตราเร็วแบบยกกำลัง การหาสมการอัตราเร็วและกลไกที่ยุ้งยากมากกว่านี้ อาจจะต้องใช้เครื่องมือที่มีเทคนิคขั้นสูงเข้าช่วย ซึ่งในกรณีเช่นนี้ทางห้องปฏิบัติการวิจัยของเรายังมีความสามารถไม่เพียงพอ เพราะเป็นเครื่องมือที่มีราคาแพงมาก การเสนอแนะกลไก แล้วหาสมการอัตราเร็วจากกลไกเหล่านั้นมาพิสูจน์ทางสถิติกับข้อมูลการทดลอง แม้ว่าผลที่ได้จะน่าเชื่อถือ แต่ก็ไม่สามารถที่จะอธิบายหรือยอมรับกันว่าเป็นกลไกที่ถูกต้องแท้จริง ต้องอาศัยเครื่องมือเทคนิคขั้นสูงเข้าช่วยพิสูจน์ การอาศัยผลงานที่ได้มีการทดลองทำกันมาเข้าช่วย อาจจะไม่ได้อผลเพราะสภาวะการทดลองไม่เหมือนกันทุกประการ แม้กระนั้นก็ยังต้องอาศัยข้อมูลที่ได้จากการทดลองของเราเองสนับสนุน จึงจะเป็นที่ยอมรับ เชื่อถือ และถ้าสภาวะการทดลองที่จะนำไปใช้งานนั้น ยังมีผลของการถ่ายเทความร้อนและมวลเกี่ยวข้อง การเสนอแนะสมการอัตราเร็ว หรือกลไกจริงๆ ก็ไม่มีประโยชน์ เพราะผลที่ได้จะไม่ถูกต้อง โดยทั่วไปแล้วในทางวิศวกรรมจะไม่ค่อยสนใจสมการอัตราเร็วหรือกลไกที่แท้จริงของปฏิกิริยามากนัก เพราะในอุตสาหกรรมส่วนใหญ่สนใจการใช้งานในช่วงที่ยังมีผลของการถ่ายเทความร้อนและมวลเกี่ยวข้อง

ดังนั้นสมการอัตราเร็วที่จะเสนอแนะในที่นี้จึงอยู่ในรูปของสมการยกกำลัง และด้วยเหตุผลดังกล่าวไว้แล้ว รูปสมการอัตราเร็วนี้จะแปรโดยตรงกับความดันย่อยของก๊าซออกซิเจนยกกำลัง n



ซึ่ง n คือค่าคงที่ ดังในสมการ (3.27)

$$-r_{O_2} = kP_{O_2}^n$$

(3.28)

เมื่อ

$$-r_{O_2} = \text{อัตราการเกิดปฏิกิริยา}$$

$$k = \text{ค่าคงที่ของสมการอัตราเร็ว}$$

$$P_{O_2} = \text{ความดันย่อยของกาซออกซิเจน}$$

$$n = \text{ค่าคงที่}$$

ในการทดลองของ เราในที่นี้จึงใช้ข้อมูลระหว่าง อัตราเร็วการเกิดปฏิกิริยาที่ความดันย่อย ของกาซออกซิเจนค่าหนึ่ง ๆ มาพิสูจน์ทางสถิติกับสมการ 3. 28) เพื่อหาค่า k และ n และจากสมการ (3. 28) เราสามารถหาค่าพลังงานกระตุ้นตามสมการ (3.28) นี้ ได้โดยการคำนวณจากค่าความชันของกราฟความสัมพันธ์ระหว่างฟังก์ชันลอการิทึม ของการเปลี่ยนแปลงรูปกาซออกซิเจน กับส่วนกลับของอุณหภูมิในหน่วยของศาเคลวิน ซึ่งได้พิสูจน์ไว้แล้วในหัวข้อ 3.3.3

ศูนย์วิทยทรัพยากร
จุฬาลงกรณ์มหาวิทยาลัย